



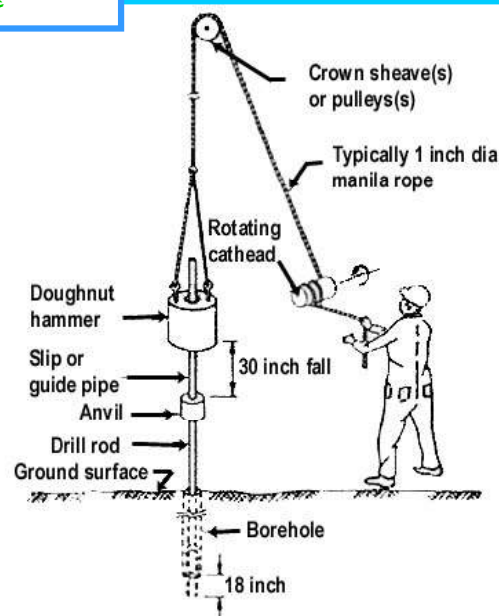
درس شناسایی های ژئوتکنیکی زمین  
علی فاخر

## آزمایش نفوذ استاندارد

# SPT

(**S**tandard **P**enetration **T**est)

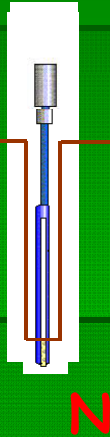
درس شناسایی های ژئوتکنیکی زمین  
علی فاخر



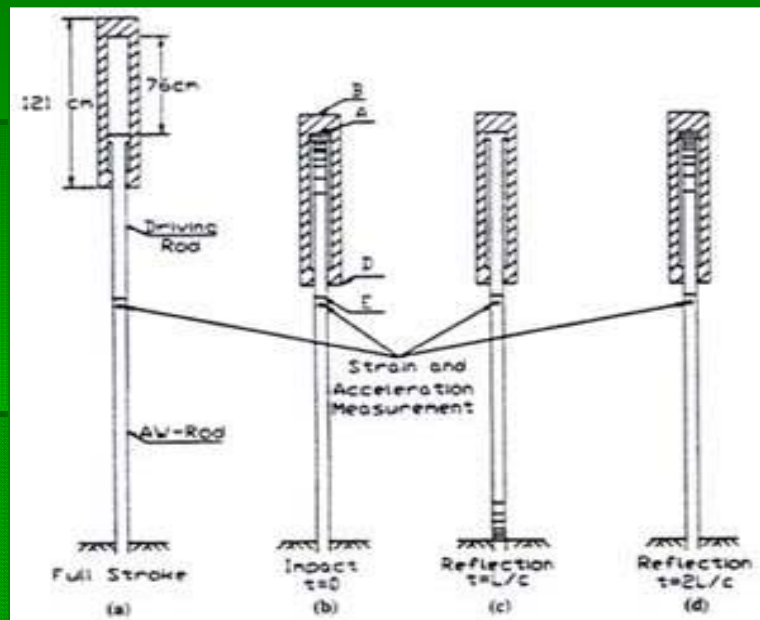
انجام آزمایش



## انجام آزمایش



## مراحل آزمایش



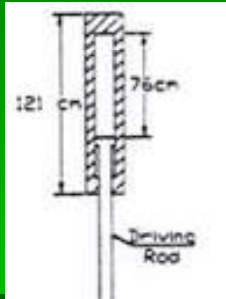


- driving a standard sampler into the bottom of a borehole using a hammer.
- اندازه گیری تعداد ضربه در سه ۱۵۰ میلیمتر متوالی
- تعداد ضربه در ۳۰۰ میلیمتر نفوذ: **N**.



نمای کلی از  
دستگاه SPT

چکش: **63.5 kg**  
ارتفاع سقوط: **0.76 m**



- vertically
- as freely as possible

نمونه گیر



20739  
Split Barrel Sampler



Split barrel sampler + retainer rings  
(Stainless steel and brass)



Catcher for Split barrel samplers



بعد از آزمایش



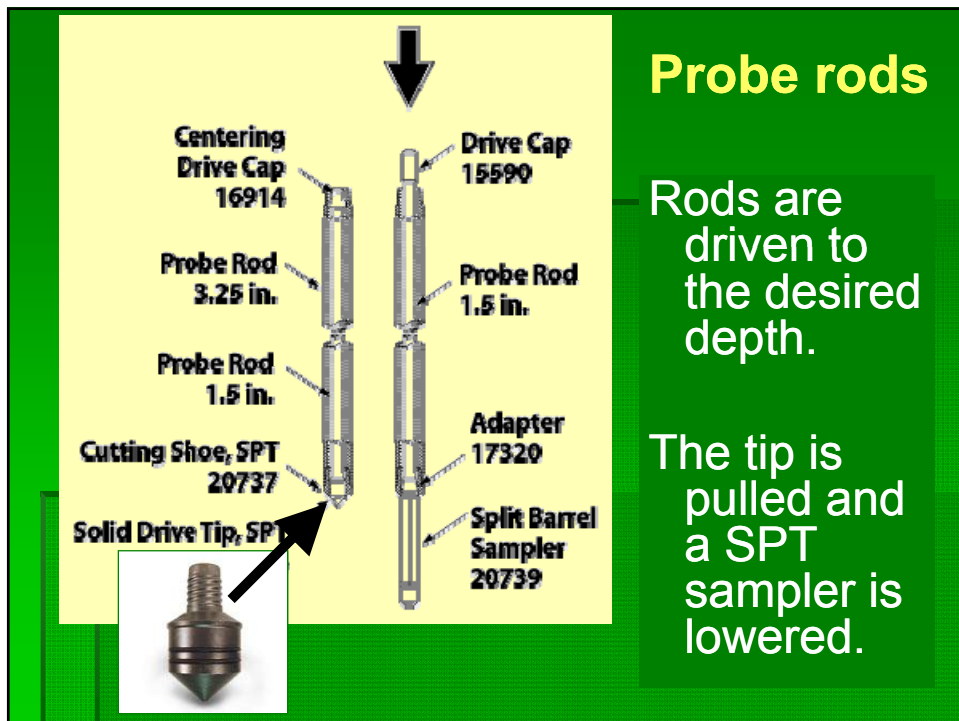
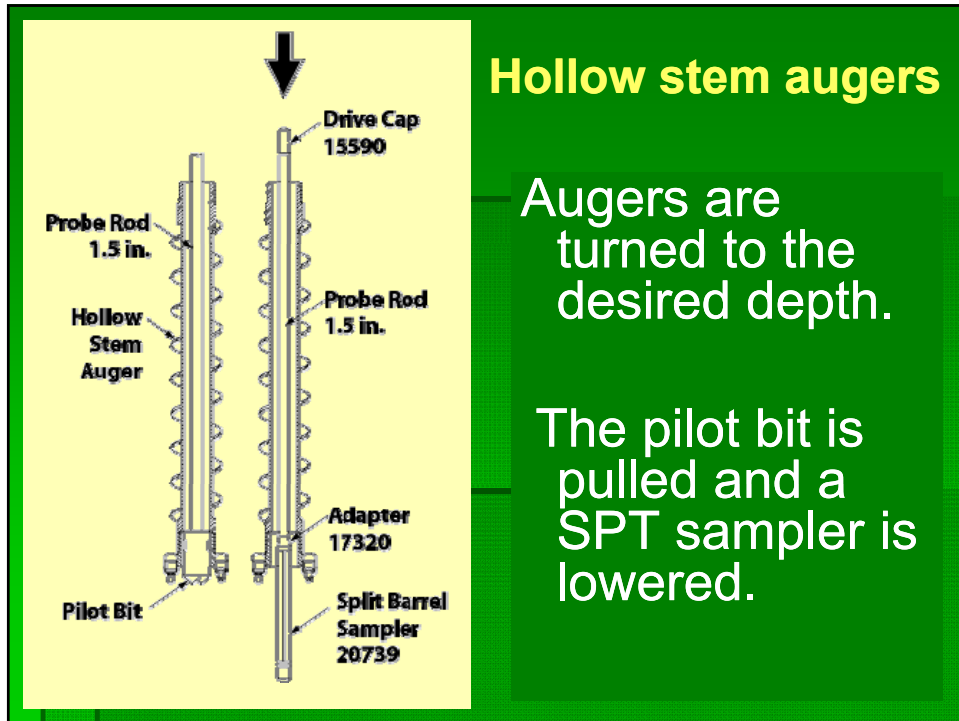
After test





روشهای جایگزین حفر گمانه  
برای انجام این آزمایش

- Hollow stem augers.
- Probe rods.







# Soil Type

- BS 5930:1999
- “ The main purpose :

... the **relative density** of **sand** and **gravels**

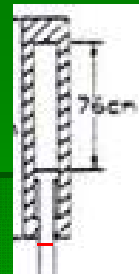
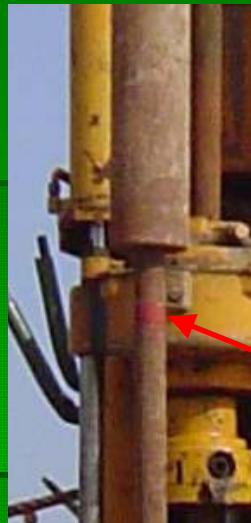
the **consistency** of **silt**, **clay** & **rocks**.

## مقادیر غیر قابل اعتماد

- $N > 50$
- Small N



## عدم دقت و بکارگیری تجهیزات نامناسب



- eye control
- reverse hammer

## Non-vertical position

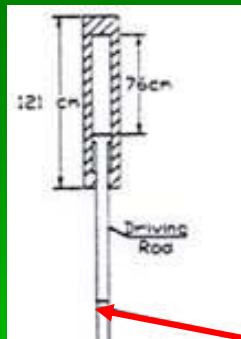


درس شناسایی های ژئوتکنیکی زمین  
علی فاخر

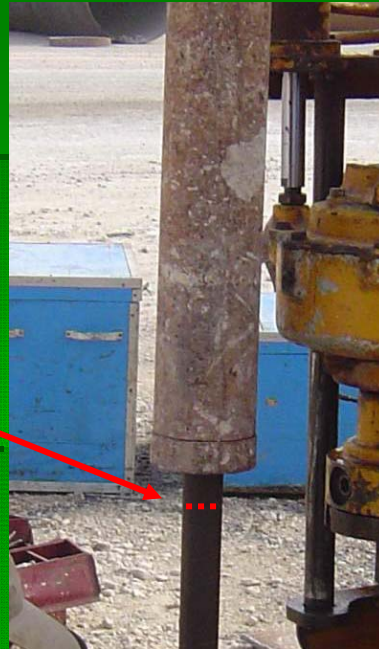
## Non-central rope



درس شناسایی های ژئوتکنیکی زمین  
علی فاخر



Non-fixed  
Connections



درس شناسایی های ژئوتکنیکی زمین  
علی فاخر

## چکش نامناسب







## مراحل ضربه زدن

1



## مراحل ضربه زدن

2



مراحل ضربه زدن

3



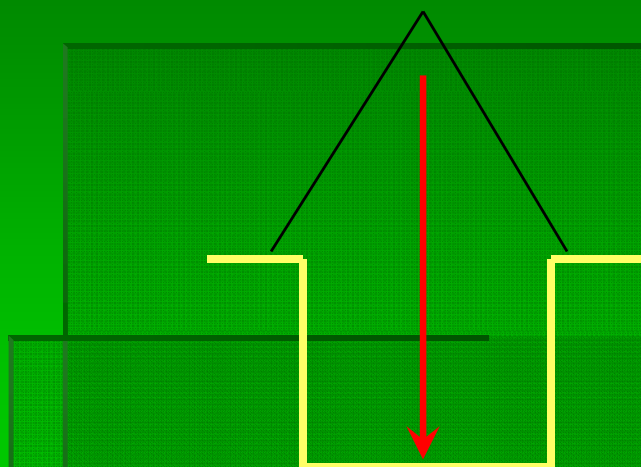
مشارکت طناب و کارگر در کاهش انرژی ضربه



Automatic Hammer

چکش  
مناسب

SPT in hand excavated pits



Due to the effect of  
borehole diameter

آزمایش انجام شده در کف  
چاهک استاندارد نیست

درس شناسایی های ژئوتکنیکی زمین  
علی فاخر

## لزوم روابط تجربی محلی

- BS 5930:1999
- SPT results and soil parameters derived from data from other countries may not correlate with results ...in accordance with BS 1377-9.
- **So local correlations are required**

درس شناسایی های ژئوتکنیکی زمین  
علی فاخر



# Energy measurements are required in Iran

- For different hammer &
- different combinations of  
drill rig,  
hammer,  
rods &  
drillers

درس شناسایی های ژئوتکنیکی زمین  
علی فاخر

**Example:**  
Results of various methods of  
energy measurements for various  
hammer in Korea

درس شناسایی های ژئوتکنیکی زمین  
علی فاخر

Hammer Type		F2 Method		FV Method	
		Mean (%)	Standard Deviation	Mean (%)	Standard Deviation
WD	<10m	44.9	9.1	57.9	7.4
	>10m	58.9	7.3	60.2	7.8
CA	<10m	57.4	3.1	60.0	4.5
	>10m	64.9	2.6	66.4	3.4
RS	<10m	54.7	3.4	58.2	3.9
	>10m	58.0	3.1	59.0	4.1
RD	<10m	36.9	9.5	38.0	10.8
	>10m	38.6	6.7	41.4	11.7

Kim et al (2004)

## In Iran:

Any important decision  
should not be taken  
based upon SPT results

## An example of wrong decision:

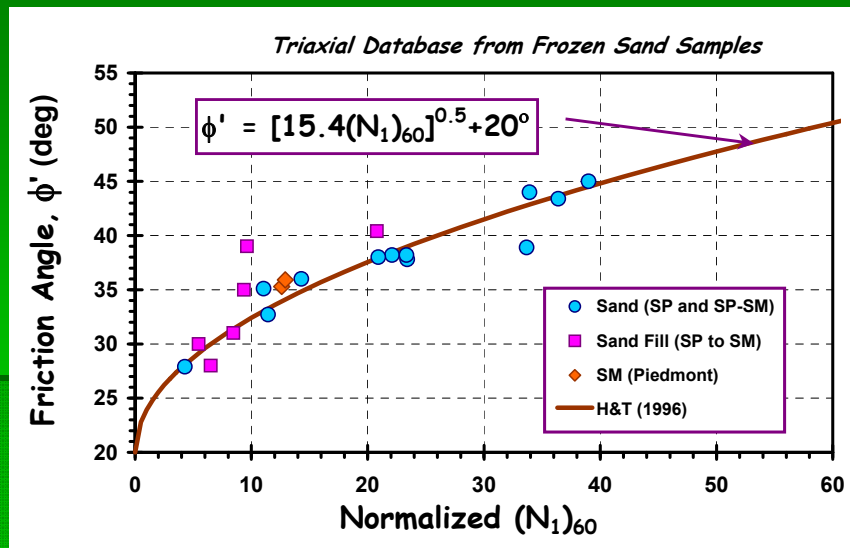
- 1- SPT results
- 2- Correlation with Liquefaction
- 3- Expensive Soil improvement

## Suggestion for important decisions about liquefaction:

- A proper Site Characterization by:

CPT, and other in-situ tests  
improvement of sampling methods,

## Friction Angle of Sands from SPT



$c_u$ = undrained strength	$D_R$ = relative density
$\gamma_T$ = unit weight	$\gamma_T$ = unit weight
$I_R$ = rigidity index	LI = liquefaction index
$\phi'$ = friction angle	$\phi'$ = friction angle
OCR = overconsolidation	$c'$ = cohesion intercept
$K_0$ = lateral stress state	$e_o$ = void ratio
$e_o$ = void ratio	$q_a$ = bearing capacity
$V_s$ = shear wave	$\sigma_p'$ = preconsolidation
$E'$ = Young's modulus	$V_s$ = shear wave
$C_c$ = compression index	$E'$ = Young's modulus
$q_b$ = pile end bearing	$\Psi$ = dilatancy angle
$f_s$ = pile skin friction	$q_b$ = pile end bearing
$k$ = permeability	$f_s$ = pile skin friction
$q_a$ = bearing stress	

One Number is not Enough.

## Correction for overburden

- $N' = C \cdot N$

- proposed for sands



$$(N_1)_{60} = C_N N_{60} = \left( \frac{100}{\sigma'_{vo}} \right)^{0.5} N_{60}$$

$C_N$  = correction factor to account for the overburden pressure. As indicated in Eq. 2.5,  $C_N$  is approximately equal to  $(100/\sigma'_{vo})^{0.5}$  where  $\sigma'_{vo}$  is the vertical effective stress, in kPa.

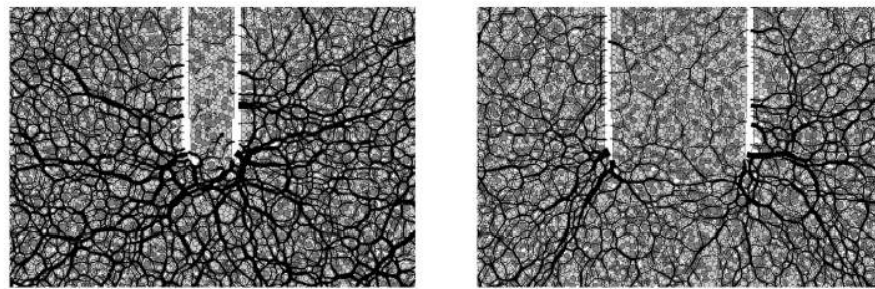
## The effect of borehole diameter

- If the test is performed in a large diameter borehole, it is not standard.

## Test in gravels is ambiguous

- Measurement of engineering properties of gravels is a challenge.
- The cutting shoe of the sampler may be replaced by a cone (60 deg) but it affects results.
- The use of tools of larger diameter than SPT sampler (Large Penetration Test)

## Research on the effect of grain size



## Correction for grain size

$$\frac{N_1}{D_r^2} = 9 \cdot \left( 0.23 + \frac{0.06}{D_{50}} \right)^{-1.7}$$

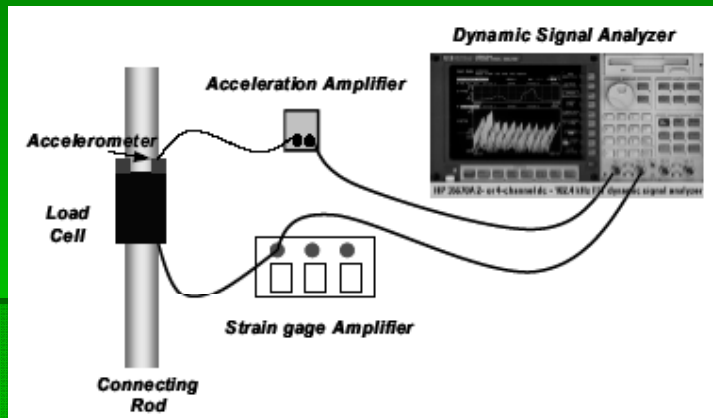
درس شناسایی های ژئوتکنیکی زمین  
علی فاخر

## Effect of Energy

- **N is inversely proportional to the energy**
- N should be corrected to reference value of 60% of the potential energy of the hammer.

درس شناسایی های ژئوتکنیکی زمین  
علی فاخر

# Energy measurement



درس شناسایی های ژنوتکنیکی زمین  
علی فاخر

## Two questions?

- **Energy delivered to the rod?**
- **Energy delivered to the sampler?**

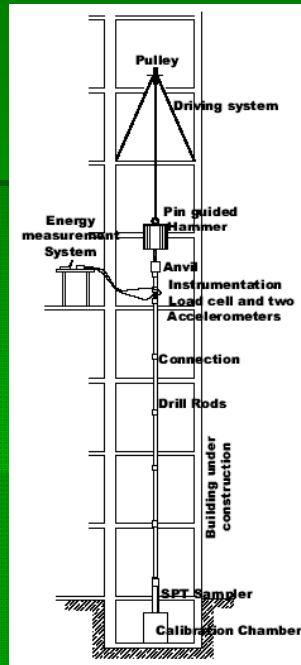
درس شناسایی های ژنوتکنیکی زمین  
علی فاخر



# Effect of rod length ?

Energy measurement in

- (1) immediately below the anvil,
- (2) mid-height
- (3) Immediately above the sampler



## Contradictory conclusions

درس شناسایی های ژئوتکنیکی زمین  
علی فاخر

# SPT - T

- Brazilian Development
- Recently investigated in USA (Kelley & Lutenege, 2004)



درس شناسایی های ژئوتکنیکی زمین  
علی فاخر

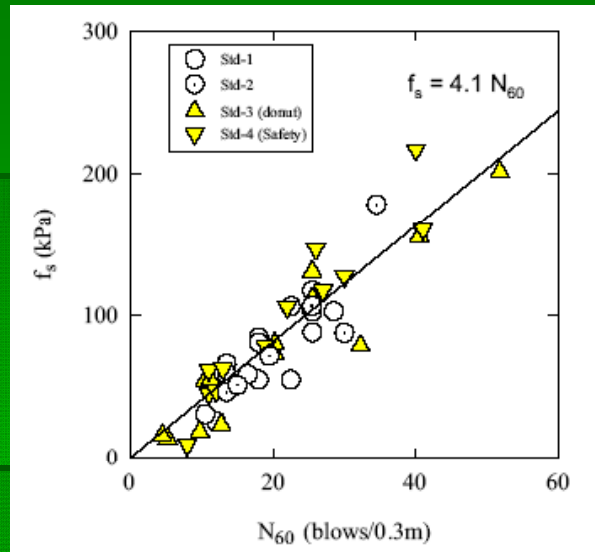
درس شناسایی های ژئوتکنیکی زمین  
علی فاخر



درس شناسایی های ژئوتکنیکی زمین  
علی فاخر



## SPT-T



- For designing **piles** in **sands** where **undisturbed** sampling is difficult.

موفق باشید



علی فاخر